# Raport

z badań poziomu natężenia pola elektrycznego
w otoczeniu stacji bazowej:

# WRO1400

na podstawie sprawozdania 42/508/24/OS udostępnionego przez Radiolog S.C. Tadeusz Piotrowski i Janusz Rzepka

---


**Laboratorium prowadzące badania**
Radiolog S.C. Tadeusz Piotrowski i Janusz Rzepka
ul. Dworska 46
71-026 Szczecin
91 483 21 15
radiolog_sc@poczta.onet.pl

Nr akredytacji: AB 413

**Zleceniodawca badań**
P4 Sp. z o.o.

Wynalazek 1
02-677 Warszawa
790 500 500
kontakt@play.pl



Data wydania sprawozdania: 14.11.2024



Raport zawiera wybrane elementy sprawozdania i służy wyłącznie obrazowemu przedstawieniu informacji o danej instalacji. Raport nie może być wykorzystywany w postępowaniach administracyjnych.

# Informacje ogólne

Zgodność z metodyką RMK: Tak

Wykorzystanie w obszarze regulowanym: Tak

## Przedmiot badań

| **Identyfikator stacji w UKE** | **WRO1400** |
|---|---|
| Operator | P4 Sp. z o.o. |
| Współrzędne | 16,9673638; 51,0619611 |
| Rodzaj pracy | ciągła |
| Rodzaj wytwarzanego pola | stacjonarne |

## Miejsce badań

Otoczenie stacji bazowej WRO1400 w lokalizacji Wrocław, Zabrodzka 13.

## Cel badań

1. Zweryfikowanie zgodności z wymaganiami rozporządzenia Ministra Zdrowia z dnia 19 grudnia 2019 r.

# Opis stacji bazowych

Tabela 1: Opis anten badanych stacji bazowych

| Lp. | Identyfikator stacji w UKE | Typ Producent anteny | Azymut | H | EIRP | Pasmo | Tilt | Tilt w trakcie pomiarów |
|---|---|---|---|---|---|---|---|---|
| | | | [°] | [m] | [W] | [MHz] | [°] | [°] |
| 1 | WRO1400 | RRV4-65B-R6N43 CommScope | 0 | 34,80 | 32390* | LTE 800<br>UMTS 900<br>LTE 1800<br>LTE 2100<br>LTE 1800<br>LTE 2100<br>LTE 2600<br>LTE 2600 | 2,0 - 12,0<br>2,0 - 12,0<br>2,0 - 12,0<br>2,0 - 12,0<br>2,0 - 12,0<br>2,0 - 12,0<br>2,0 - 12,0<br>2,0 - 12,0 | 7,0<br>7,0<br>7,0<br>7,0<br>7,0<br>7,0<br>7,0<br>7,0 |
| 2 | | RRV4-65B-R6N43 CommScope | 120 | 34,80 | 32390* | LTE 800<br>UMTS 900<br>LTE 1800<br>LTE 2100<br>LTE 1800<br>LTE 2100<br>LTE 2600<br>LTE 2600 | 2,0 - 12,0<br>2,0 - 12,0<br>2,0 - 12,0<br>2,0 - 12,0<br>2,0 - 12,0<br>2,0 - 12,0<br>2,0 - 12,0<br>2,0 - 12,0 | 7,0<br>7,0<br>7,0<br>7,0<br>7,0<br>7,0<br>7,0<br>7,0 |
| 3 | | RRV4-65B-R6N43 CommScope | 240 | 34,80 | 32390* | LTE 800<br>UMTS 900<br>LTE 1800<br>LTE 2100<br>LTE 1800<br>LTE 2100<br>LTE 2600<br>LTE 2600 | 2,0 - 12,0<br>2,0 - 12,0<br>2,0 - 12,0<br>2,0 - 12,0<br>2,0 - 12,0<br>2,0 - 12,0<br>2,0 - 12,0<br>2,0 - 12,0 | 7,0<br>7,0<br>7,0<br>7,0<br>7,0<br>7,0<br>7,0<br>7,0 |

* moc EIRP łączna dla wszystkich częstotliwości anteny

## Warunki pomiarów

Pomiary w wyznaczonych punktach wykonano w następujących warunkach:

| 13.11.2024 15:00-18:10 | | | |
|---|---|---|---|
| **Warunki środowiskowe** | **Temperatura [°C]** | **Wilgotność [%]** | **Opady** |
| Minimalna | 5,6 | 77,9 | brak |
| Maksymalna | 5,9 | 78,9 | |

## Aparatura

Tabela 2: Aparatura

| MIERNIKI I SONDY | | | | | |
|---|---|---|---|---|---|
| **Lp.** | **Typ / Nazwa** | **Model** | **Producent** | **Próg detekcji** | **Świadectwo wzorcowania** |
| 1a | miernik | NBM- 520 | Narda | | LWiMP/W/472/23 z dn. 18.12.2023 wydane przez LWiMP |
| 1b | sonda | EF9091 | Narda | 0,50 | |
| POZOSTAŁE | | | | | |
| **Lp.** | **Typ / Nazwa** | **Model** | **Producent** | **Świadectwo wzorcowania** | |
| 2 | termohigrometr | Termik+S | Termoprodukt | 0129/AH/24 z dn. 24.01.2024 wydane przez MUTECH | |

# Lokalizacje pionów pomiarowych

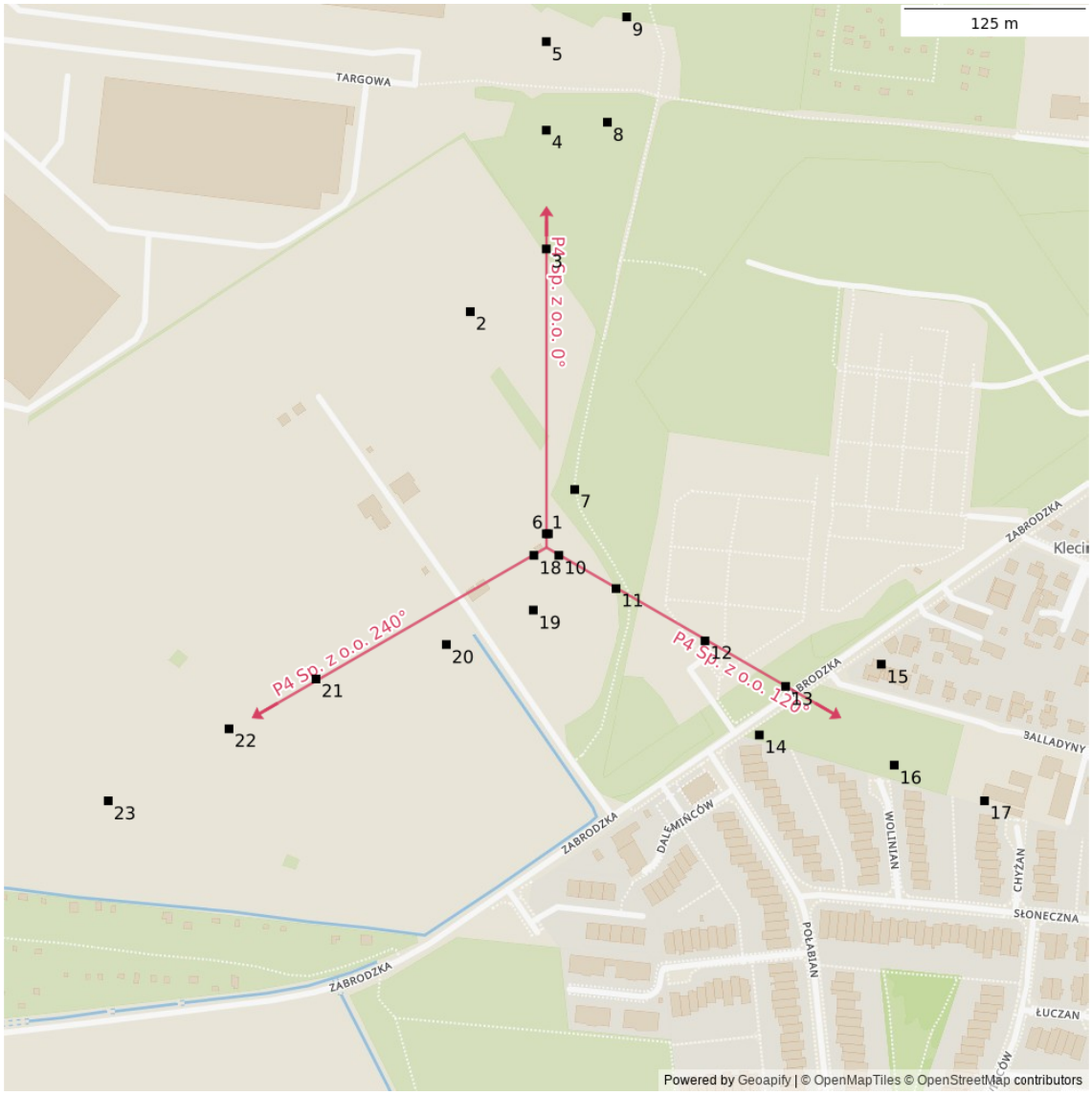


Rysunek 1: Plan terenu

## Dodatkowe informacje o punktach

**punkt 14:** ul. Połabian 2 - I kondyg., na schodach wejściowych

**punkt 15:** ul. Balladyny 26 - II kondyg., balkon

# Wyniki pomiarów szerokopasmowych

Tabela 3: Zestawienie lokalizacji pionów pomiarowych oraz wyników pomiarów natężenia pola elektrycznego, pomiary szerokopasmowe

| Nazwa | Data | Współrzędne geograficzne | E | $\mathbf{WM_E}$ | H | $\mathbf{WM_H}$ |
|---|---|---|---|---|---|---|
| | | [°] | $[\frac{\mathbf{V}}{\mathbf{m}}]$ | | $[\frac{\mathbf{A}}{\mathbf{m}}]$ | |
| 1 | 13.11.2024 | 16,9673615<br>51,0620461 | 2,24 | 0,080 | 0,006 | 0,081 |
| 2 | 13.11.2024 | 16,9666119<br>51,0634232 | 2,86 | 0,102 | 0,008 | 0,104 |
| 3 | 13.11.2024 | 16,9673615<br>51,0638123 | 3,11 | 0,111 | 0,008 | 0,113 |
| 4 | 13.11.2024 | 16,9673615<br>51,0645485 | 3,60 | 0,129 | 0,010 | 0,131 |
| 5 | 13.11.2024 | 16,9673615<br>51,0650978 | 2,61 | 0,093 | 0,007 | 0,095 |
| 6 | 13.11.2024 | 16,9673824<br>51,0620461 | 2,36 | 0,084 | 0,006 | 0,086 |
| 7 | 13.11.2024 | 16,9676418<br>51,0623207 | 2,24 | 0,080 | 0,006 | 0,081 |
| 8 | 13.11.2024 | 16,9679642<br>51,0645981 | 3,11 | 0,111 | 0,008 | 0,113 |
| 9 | 13.11.2024 | 16,9681549<br>51,0652504 | 2,24 | 0,080 | 0,006 | 0,081 |
| 10 | 13.11.2024 | 16,9674854<br>51,0619125 | 2,11 | 0,075 | 0,006 | 0,077 |
| 11 | 13.11.2024 | 16,9680500<br>51,0617065 | 2,36 | 0,084 | 0,006 | 0,086 |
| 12 | 13.11.2024 | 16,9689274<br>51,0613823 | 3,11 | 0,111 | 0,008 | 0,113 |
| 13 | 13.11.2024 | 16,9697227<br>51,0611000 | 3,97 | 0,142 | 0,011 | 0,144 |
| 14 | 13.11.2024 | – | 1,49 | 0,053 | 0,004 | 0,054 |
| 15 | 13.11.2024 | – | 1,37 | 0,049 | 0,004 | 0,050 |
| 16 | 13.11.2024 | 16,9707947<br>51,0606117 | 3,11 | 0,111 | 0,008 | 0,113 |
| 17 | 13.11.2024 | 16,9716854<br>51,0603905 | 2,86 | 0,102 | 0,008 | 0,104 |
| 18 | 13.11.2024 | 16,9672394<br>51,0619125 | 2,24 | 0,080 | 0,006 | 0,081 |
| 19 | 13.11.2024 | 16,9672337<br>51,0615730 | 2,11 | 0,075 | 0,006 | 0,077 |
| 20 | 13.11.2024 | 16,9663754<br>51,0613594 | 2,48 | 0,089 | 0,007 | 0,090 |
| 21 | 13.11.2024 | 16,9650898<br>51,0611458 | 2,98 | 0,106 | 0,008 | 0,108 |
| 22 | 13.11.2024 | 16,9642315<br>51,0608368 | 3,35 | 0,120 | 0,009 | 0,122 |

Ciąg dalszy na następnej stronie

Tabela 3: Zestawienie lokalizacji pionów pomiarowych oraz wyników pomiarów natężenia pola elektrycznego, pomiary szerokopasmowe (c.d.)

| Nazwa | Data | Współrzędne geograficzne | E | $\mathbf{WM_E}$ | H | $\mathbf{WM_H}$ |
|---|---|---|---|---|---|---|
| | | [°] | $[\frac{\mathrm{V}}{\mathrm{m}}]$ | | $[\frac{\mathrm{A}}{\mathrm{m}}]$ | |
| 23 | 13.11.2024 | 16,9630394<br>51,0603905 | 2,36 | 0,084 | 0,006 | 0,086 |

# Podsumowanie

Na podstawie wyników pomiarów pola elektromagnetycznego przedstawionych w niniejszym raporcie o nr 42/508/24/OS opracowanym przez Radiolog S.C. Tadeusz Piotrowski i Janusz Rzepka stwierdza się, że w otoczeniu stacji bazowej WRO1400 dopuszczalne poziomy pól elektromagnetycznych w środowisku, określone w przepisach wydanych na podstawie art. 122 ust. 1 ustawy z dnia 27 kwietnia 2001 r. – Prawo ochrony środowiska uznaje się za **dotrzymane**. Udokumentowano, że w żadnym pionie pomiarowym wartości wskaźnikowe $\mathrm{WM_E}$ oraz $\mathrm{WM_H}$ nie przekroczyły 1.

# Osoby odpowiedzialne

Wykonanie pomiarów: b.d.
Opracowanie sprawozdania: b.d.
Autoryzacja sprawozdania: Janusz Rzepka (Kierownik Laboratorium)